

## КВАНТОВЫЕ ИЗМЕРЕНИЯ СОСТОЯНИЯ КАК ДВИЖУЩАЯ СИЛА КОГЕРЕНТНОЙ ЭВОЛЮЦИИ И «НАГРЕВА» ИЗМЕРЯЕМОЙ СИСТЕМЫ

На примере двухуровневой системы показано, что измерительный прибор индуцирует квантовую эволюцию в измеряемой системе, если оператор измеряемой величины не коммутирует с гамильтонианом, что происходит даже если в начальный момент система находится в основном состоянии. Предложено решение задачи о переходе системы в ортогональное возбужденное состояние. Предложены два вида квантовой эволюции: осциллирующая и кинетическая (неосциллирующая), – а также условия их проявления. Утверждается, что измерительный прибор способен увеличивать энергию невырожденной системы («нагревать» ее).

**Ключевые слова:** квантовые измерения, квантовая динамика, двухуровневая система.

Развитие спинтроники [1] и наноэлектроники [2] сделало актуальной и практически важной классическую проблему квантовой механики – влияние измерительного прибора на состояние квантовой системы, в том числе и вопрос о «физическом» происхождении коллапса волновой функции при измерении квантового состояния. Примером нетривиального влияния процесса измерения и измерительного прибора на эволюцию квантовой системы является квантовый эффект Зенона [3, 4]. Суть этого эффекта заключается в замедлении эволюции квантового объекта в результате повторных измерений состояния. В пределе непрерывных измерений возможно эффективное выключение квантовых переходов и «замораживание» системы в исходном (даже возбужденном) состоянии. Недавно в работе [5] было показано, что процесс квантовых измерений способен влиять на термодинамические свойства измеряемой системы и термостата, например на температуру и энтропию. Цель данной работы – показать, что процесс измерения может быть движущей силой этой эволюции, и рассчитать вероятность перехода в возбужденное состояние.

Для достижения цели поставлены следующие задачи:

1. Получить аналитическое решение стохастического уравнения Неймана - Лиувилля для двухуровневой системы.
2. С помощью найденного решения рассчитать кинетику населенности возбужденного уровня.
3. Определить аналитический вид возможного сигнала.

В работах [6, 7] показано, что аналогом процесса измерения являются селективные процессы, т.е. такие процессы, развитие которых зависит от состояния системы в данный момент.

Поэтому теория квантовых измерений важна и для построения теорий необратимых селективных процессов и реакций, например для спин-селективных реакций.

Рассмотрим двухуровневую систему, изначально находящуюся в одном из собственных состояний гамильтониана  $H$ , например в основном состоянии  $|\psi_1\rangle$ . Пусть  $H|\psi_1\rangle = E_1|\psi_1\rangle$  и  $H|\psi_2\rangle = E_2|\psi_2\rangle$ , где  $|\psi_1\rangle$  и  $|\psi_2\rangle$  – ортогональные собственные функции гамильтониана, а  $E_1$  и  $E_2$  – соответствующие значения энергии, и  $E_2 > E_1$ . Очевидно, что невозмущенная прибором система, находясь в собственном состоянии гамильтониана, не эволюционирует. Она будет оставаться в этом состоянии бесконечно долго, а вероятность обнаружить частицу в другом собственном состоянии равна нулю  $W_2 = 0$ .

Пусть измерительный прибор селективно (с вероятностью  $w$ ) детектирует и поглощает из ансамбля только частицы, находящиеся в произвольном суперпозиционном состоянии  $|\psi_3\rangle = c_1|\psi_1\rangle + c_2|\psi_2\rangle$ , которое не является собственным состоянием гамильтониана  $H$ . В качестве  $|\psi_3\rangle$  могут выступать, например, собственные функции оператора проекции спинового момента на произвольную ось, отличную от оси квантования, оператор проекции импульса частицы или кинетической энергии и т.д. В общем случае коэффициенты  $c_1$  и  $c_2$  могут быть комплексными величинами, однако мы здесь ограничимся только действительными значениями.

В данной работе мы придерживаемся традиционных представлений о действии измерительного прибора как «идеального фильтра» [8, 9]. Он селективно реагирует только на частицы, находящиеся в состоянии  $|\psi_3\rangle$ , необратимо поглощает их и не реагирует на остальные. Взаимодействие квантовых частиц с прибором заставляет

описывать измеряемую двухуровневую систему с помощью матрицы плотности.

Состояние ансамбля двухуровневых частиц, взаимодействующих с измерительным прибором, описывается модифицированным уравнением Неймана [10] для матрицы плотности  $\rho$ :

$$\frac{d\rho}{dt} = -i\hbar^{-1}[H, \rho] - \frac{w}{2}\{P_3\rho + \rho P_3\}. \quad (1)$$

Здесь  $P_3 = |\psi_3\rangle\langle\psi_3|$  – оператор проектирования в суперпозиционное состояние. Вероятность  $w$  является мерой «эффективности» измерительного прибора. Если обе величины  $c_1$  и  $c_2$  не равны нулю, то оператор  $P_3$  не коммутирует с гамильтонианом  $H$ . Коммутатор этих операторов  $[H, P_3] = c_1 c_2 \Delta E (|\psi_1\rangle\langle\psi_2| - |\psi_2\rangle\langle\psi_1|)$  (2) имеет вид оператора переходов из состояния  $|\psi_1\rangle$  в  $|\psi_2\rangle$  и обратно, и  $\Delta E = E_2 - E_1 = \hbar\Delta\omega$ .

Уравнение (1) описывает необратимый процесс, в котором число частиц не сохраняется, поэтому матрица плотности  $\rho$  нормирована на 1 только в начальный момент  $t=0$  и  $\rho(0) = |\psi_1\rangle\langle\psi_1|$ . Однако если учесть частицы, поглощенные прибором, то общее число частиц в системе сохраняется в течение всего процесса эволюции и измерения. Условие нормировки выполняется для полной матрицы плотности  $\rho_f(t) = \rho(t) \oplus \rho'(t)$ , где  $\rho'(t)$  – матрица плотности частиц, поглощенных измерительным прибором.

Уравнение (1) имеет точное формальное решение

$$\rho(t) = \exp(B^* t) \rho(0) \exp(Bt) \quad (3)$$

где  $B = i\frac{H}{\hbar} + \frac{wP_3}{2} = \frac{1}{2} \text{Tr}(B)I + A$ ,

$$B^* = -i\frac{H}{\hbar} + \frac{wP_3}{2} = \frac{1}{2} \text{Tr}(B^*)I + A^*.$$

Здесь  $A, A^*, B$  и  $B^*$  – неэрмитовы матрицы, описывающие обратимую и необратимую эволюцию системы с селективным выбыванием частиц, а  $I$  – единичная матрица. При таком представлении матриц  $B$  и  $B^*$  неэрмитовы матрицы  $A$  и  $A^*$  оказываются бесследовыми матрицами, размерность которых  $2 \times 2$ ; они обладают свойством

$$\exp(At) = \text{ch}(\sqrt{a}t) + \frac{A}{\sqrt{a}} \text{sh}(\sqrt{a}t) \quad (4)$$

где  $a = -\det(A) = \left(\frac{w^2}{16} - \frac{\Delta\omega^2}{4}\right) + i\frac{w\Delta\omega}{4} c_1 c_2$

Обычно для решения эволюционных уравнений типа (1) используют теорию линейного

отклика [11-15], справедливую лишь при выполнении условия  $w \ll \hbar \Delta\omega$ . Представление (4) позволяет получать точные аналитические решения эволюционного уравнения (1), в том числе и для нетривиального и наиболее интересного случая  $w > \hbar \Delta\omega$  [6].

Подстановка выражения (4) в формальное решение (3) позволяет получить точное аналитическое решение уравнения (1) и определить вероятность обнаружения системы в возбужденном состоянии  $|\psi_2\rangle$  для любых соотношений  $w$  и  $\Delta\omega$  в том числе и для наиболее интересного случая  $w \geq \hbar \Delta\omega$ :

$$W_2(t) = \langle\psi_2|\rho(t)|\psi_2\rangle = \frac{\langle\psi_2|A|\psi_1\rangle\langle\psi_1|A^*|\psi_2\rangle}{\sqrt{aa^*}} \exp\left(-\frac{w}{2}t\right) \text{sh}(\sqrt{a}t) \text{sh}(\sqrt{a^*}t). \quad (5)$$

Из формулы (5) следует, что вероятность  $W_2(t)$  обнаружения частиц в возбужденном состоянии  $|\psi_2\rangle$  не равна нулю; это доказывает, что в результате действия измерительного прибора и измерения частица переходит из исходного основного состояния  $|\psi_1\rangle$  в ортогональное возбужденное состояние  $|\psi_3\rangle$ .

Вводя обозначения

$$\gamma = \sqrt{2\left(D + \frac{w^2}{16} - \frac{\Delta\omega^2}{4}\right)} \quad (6)$$

и

$$\Omega = \sqrt{2\left(D - \frac{w^2}{16} + \frac{\Delta\omega^2}{4}\right)}, \quad (7)$$

где

$$D = \sqrt{aa^*} = \left[\left(\frac{w^2}{16} - \frac{\Delta\omega^2}{4}\right)^2 + \frac{w^2\Delta\omega^2}{4}(c_1^2 - c_2^2)^2\right]^{1/2}, \quad (8)$$

получим выражение, описывающее временную зависимость появления частиц в возбужденном состоянии  $|\psi_3\rangle$ :

$$W_2(t) = \frac{w^2 c_1^2 c_2^2}{16D} [\exp(-\Gamma t)(1 - \exp(-\gamma t))^2 + 4 \exp(-wt/2) \sin^2(\Omega t/2)] \quad (9)$$

где  $\Gamma = w/2 - \gamma$ .

Из формулы (9) следует, что вероятность квантового перехода пропорциональна квадрату «эффективности» измерения  $w$ . Если же  $w = 0$  (отсутствие квантовых измерений и проектирования), то вероятность  $W_2(t) = 0$  и система (частица) все время остается в исходном состоянии  $|\psi_1\rangle$ .

Изменение населенности состояния  $|\psi_2\rangle$  описывается двумя слагаемыми. Первое описывает «кинетическое» появление частиц в состоя-

нии  $|\psi_2\rangle$  и их последующее исчезновение в результате селективного поглощения измерительным прибором (проявляется при больших значениях  $t$  и характеризуется сравнительно медленным убыванием). Второе (осциллирующее)

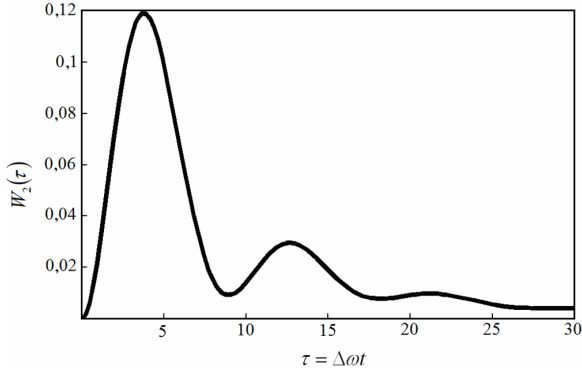


Рисунок 1. Изменение населенности  $W_2(t)$  возбужденного состояния  $|\psi_2\rangle$  в результате действия измерительного прибора при  $w/Dw=0,39$ ,  $c_1^2=0,85$  и  $c_2^2=0,15$ . Представлен начальный участок с ярко выраженными квантовыми биениями.

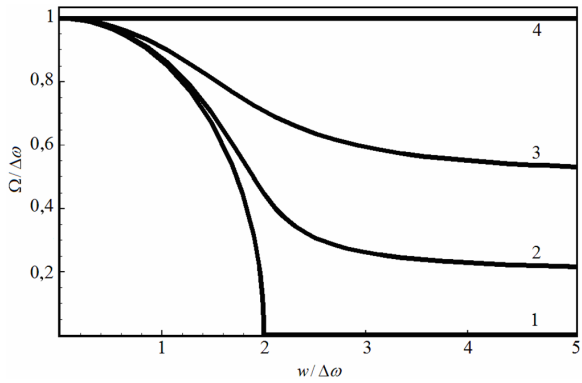


Рисунок 2. Зависимость частоты квантовых биений  $\Omega$  от эффективности действия измерительного прибора  $w$ , состояний  $|\psi_3\rangle$  с коэффициентами  $c_1$  и  $c_2$ : 1)  $c_1^2 - c_2^2 = 0$ ; 2)  $(c_1^2 - c_2^2)^2 = 0,05$ ; 3)  $(c_1^2 - c_2^2)^2 = 0,25$ ; 4)  $(c_1^2 - c_2^2)^2 = 1$ .

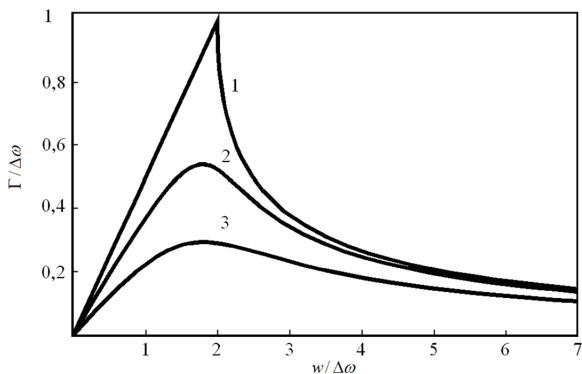


Рисунок 3. Зависимость скорости  $\Gamma$  селективного поглощения частиц от эффективности измерения прибора  $w$  для разных состояний  $|\psi_3\rangle$  с коэффициентами  $c_1$  и  $c_2$ : 1)  $(c_1^2 - c_2^2)^2 = 0$ ; 2)  $(c_1^2 - c_2^2)^2 = 0,05$ ; 3)  $(c_1^2 - c_2^2)^2 = 0,25$ .

слагаемое описывает квантовые биения с частотой  $\Omega$  и характерным временем затухания  $2/w$ .

Эти квантовые биения доказывают когерентный характер эволюции системы, индуцированной действием измерительного прибора. Такая эволюция сопровождается появлением недиагональных элементов матрицы плотности  $\rho_{12}(t) = \rho_{21}^*(t) = \langle \psi_1 | \rho(t) | \psi_2 \rangle \neq 0$ .

На рис. 1 показан характерный график зависимости  $W_2(t)$ , на котором явно выражены квантовые биения с частотой  $\Omega \neq \Delta\omega$ . Эти биения экспоненциально затухают со скоростью  $w/2$ , которая определяется только «эффективностью» поглощающего измерительного прибора. Однако затухание квантовых биений не означает прекращение квантовой эволюции. Она продолжается в «кинетическом» режиме, затухая со скоростью  $\Gamma < w/2$ .

На рис. 2 показана зависимость частоты квантовых биений  $\Omega$  от «эффективности» квантового прибора  $w$  для разных соотношений коэффициентов  $c_1$  и  $c_2$ , то есть для разных состояний  $|\psi_3\rangle$ . Для всех возможных соотношений  $c_1$  и  $c_2$  частота осцилляций  $\Omega$ , индуцированных процессом селективного измерения, всегда меньше частоты переходов изолированных систем  $\Omega < \Delta\omega$ . Уникальной является ситуация, когда  $c_1 = \pm c_2$ . Только в этом случае при  $w > \Delta\omega/2$  возможно отсутствие квантовых биений ( $\Omega = 0$ ) и чисто «кинетический» режим квантовой эволюции измеряемой системы. Равенство частот  $\Omega = \Delta\omega$  возможно, если  $|c_1^2 - c_2^2| = 1$ , то есть только в случаях  $c_1 = 1, c_2 = 0$  или  $c_1 = 0, c_2 = 1$ . Однако при этом состояние  $|\psi_3\rangle$  совпадает либо с основным состоянием  $|\psi_1\rangle$ , либо с возбужденным  $|\psi_2\rangle$ . Но в этом случае  $W_2(t) \equiv 0$  и переходы в системе невозможны.

На рис. 3 показана зависимость скорости  $\Gamma$  поглощения частиц измерительным прибором от его эффективности  $w$ . Видно, что только при  $c_1^2 = c_2^2$  и  $w < 2\Delta\omega$  возможно равенство  $\Gamma = w/2$ . При любых других соотношениях  $c_1$  и  $c_2$  всегда  $\Gamma < w/2$ . При  $w < 2\Delta\omega$  величина  $\Gamma$  возрастает с ростом  $w$ . Однако при  $w > 2\Delta\omega$  повышение «эффективности» поглощающего измерительного прибора приводит к парадоксальному уменьшению скорости  $\Gamma$  вместо ее ожидаемого увеличения. Это объясняется своеобразным проявлением эффекта Зенона в кинетических процессах [6]. Поскольку при больших значениях  $w$  лимитирующей стадией процесса является квантовая эволюция,

переводящая частицы из ортогонального подпространства в состояние  $|\psi_1\rangle$ , то уменьшение частоты  $\Omega$  и замедление эволюции приводит к уменьшению скорости поглощения частиц  $\Gamma$  при увеличении эффективности  $w$ .

Взаимозависимость величин  $\Omega$  и  $\gamma$ , а также  $\Gamma$  при селективном поглощении следует из формул (6) и (7). Их произведение равно

$$\gamma\Omega = \frac{w\Delta\omega}{4} |c_1^2 - c_2^2|. \quad (10)$$

Очевидно, что экспериментально вероятность  $W_2(t)$  может быть определена только с помощью второго измерительного прибора, природа которого не уточнялась и действие которого не учитывалось в предыдущем рассмотрении.

Таким образом, показано, что с помощью второго измерительного прибора можно определять действие на систему первого прибора. Теперь после того, как мы фактически вычислили показания второго измерительного прибора, следует ответить и на вопрос о том, что же будет показывать первый измерительный прибор? Для ответа на этот вопрос следует найти вероятность нахождения частиц в состоянии  $|\psi_3\rangle$ , то есть величину:

$$W_3(t) = \langle \psi_3 | \rho(t) | \psi_3 \rangle = c_1^2 \langle \psi_1 | \rho(t) | \psi_1 \rangle + c_1 c_2 (\langle \psi_1 | \rho(t) | \psi_2 \rangle + \langle \psi_2 | \rho(t) | \psi_1 \rangle) + c_2^2 \langle \psi_2 | \rho(t) | \psi_2 \rangle \quad (11)$$

Тогда показания прибора будут пропорциональны величине:

$$P_3(t) = wW_3(t) = \frac{wc_1^2}{2D} \left( \frac{d+e}{2} \right) \exp(-\Gamma t) \left( 1 + \frac{d-e}{d+e} \right) \exp(-2\gamma t) + \exp(-wt/2) (f \cos(\Omega t) + g \sin(\Omega t)) \quad (12)$$

где  $d = D + w^2/16 + \Delta\omega^2/4$ ,  $e = w\gamma/4 + \Omega\Delta\omega/2$ ,

$f = D - w^2/16 - \Delta\omega^2/4$ ,  $g = w\gamma/4 - \gamma\Delta\omega/2$ .

На рис. 4 изображен график временной зависимости  $W_3(t)$ , то есть величина сигнала, который должен показать измерительный прибор. В начальный момент времени включения прибора  $W_3(t=0) = c_1^2 = |\langle \psi_1 | \psi_3 \rangle|^2$ . Из формулы (12) следует, а на рис. 4 отчетливо видно, что в показаниях прибора тоже могут проявляться затухающие квантовые биения. Частота осцилляций  $W_3(t)$  совпадает с частотой квантовых биений вероятности  $W_2(t)$  и равна  $\Omega$ . При  $t > 2/\omega$  зависимость  $W_3(t)$  может быть описана экспоненциально затухающей функцией с показателем  $\Gamma$ . Это затухание соответствует поглощению частиц измерительным прибором.

Влияние селективно поглощающего измерительного прибора на состояние частиц, остающихся в ансамбле, объясняется следующим

образом. Условие полноты для двухуровневой системы

$$I = |\psi_1\rangle\langle\psi_1| + |\psi_2\rangle\langle\psi_2| = |\psi_3\rangle\langle\psi_3| + |\psi_4\rangle\langle\psi_4|, \quad (13)$$

где  $|\psi_4\rangle$  – вектор состояния, ортогональный  $|\psi_3\rangle$ , позволяет представить уравнение (1) в следующем виде:

$$\frac{d\rho}{dt} = -i\hbar^{-1} [H, \rho] - w\rho + wP_4 + \frac{w}{2} [P_4\rho P_3 + P_3\rho P_4], \quad (14)$$

где  $P_4 = |\psi_4\rangle\langle\psi_4|$ .

Из формулы (14) следует, что действие такого измерительного прибора можно представить как поглощение всех частиц и одновременно возвращение в измеряемую систему частиц в состоянии  $|\psi_4\rangle$ . Именно поток таких «отраженных» частиц осуществляет обратную связь между измерительным прибором и измеряемой системой. Так как исходное состояние системы соответствует минимальной ее энергии, то переход в любое другое состояние будет соответствовать увеличению энергии  $E$  измеряемой системы (ее «нагреванию»). Если  $E_1=0$ , то увеличение энергии системы  $E$  можно представить как

$$E = E_2 P_{22}(t).$$

Таким образом, показано, что процесс селективных измерений посредством поглощающего прибора способен индуцировать квантовую эволюцию в измеряемой системе, даже в том случае, если она изначально находилась в основном собственном состоянии. Для этого необходимо, чтобы оператор измеряемой величини

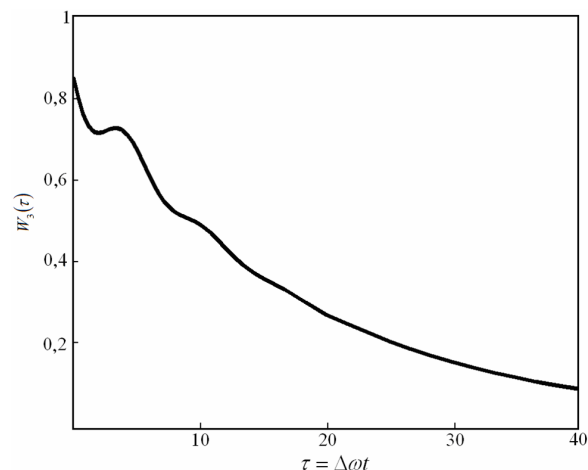


Рисунок 4. Характерный пример зависимости «сигнала» измерительного прибора, пропорционального вероятности  $W_3$  обнаружить квантовую систему в состоянии  $|\psi_3\rangle$ . Здесь  $w=0,39$ ,  $c_1^2=0,85$ .

ны не коммутировал с гамильтонианом измеряемой системы.

**Выводы:**

Для достижения цели в работе поставлены и решены задачи:

1. Получено аналитическое решение стохастического уравнения Неймана - Лиувилля для двухуровневой системы без использования приближений.

2. Рассчитана кинетика населенности верхнего возбужденного уровня. Она включает осциллирующий и неосциллирующий режимы квантовой эволюции, первый из которых затухает быстрее первого, проявляющегося в виде продолжительного убывающего сигнала.

3. Выведена временная зависимость временного сигнала прибора, изображенная на рис. 4.

---

**Список использованной литературы:**

1. Awshalom D.D. Semiconductor, Spintronics and Quantum Computation Springer. Berlin, 2002.
2. Шука А.А. Наноэлектроника. СПб.: Питер, 2007.
3. Менский М.Б. Квантовые измерения и декогеренция. М.: Физматлит, 2001.
4. Misra B. and Sudarshan E.C.G. The Zeno's paradox in quantum theory. *The Zeno's paradox in quantum theory*//J. Math. Phys., 1977.-V. 18.-P. 756-165.
5. Frez N., Gordon G., Nest M. et. all. Thermodynamical control by frequent quantum measurements //Nature, 2008. – V. 452. – P. 724-727.
6. Якунин И.Н., Бердинский В.Л. Химический эффект Зенона и его проявления // ДАН, 2008. – Т. 421. – С. 163-165.
7. Kominis I.K. Quantum Zeno effect in radical-ion-pair recombination reactions. [Электронный ресурс]. – 2008. – Режим доступа: <http://Arxiv.org/abc/0804.3503>.
8. Фон Нейман И. Математические основы квантовой механики. М.: Наука, 1964.
9. Мессиа А. Квантовая механика. М.: Наука. 1978.
10. Бломбергс Н. Нелинейная оптика. М.: Мир, 1966.
11. Korotkov A.N. Continuous quantum measurement of a double dot // Phys. Rev. B., 1999. – V. 60. – P. 5737-5752.
12. Averin D.V. *Quantum Noise in Mesoscopic Physics*, edited by Nazarov Yu.V., Kluwer. Dordrecht, 2003.
13. Clerk A.A., Girvin S. M. and Stone A.D. Quantum-limited measurements and information in mesoscopic // Phys. Rev. B., 2003. – V. 67. – P. 165324.
14. Jordan A.N. and Buttiker M. Beliaev damping of quasiparticles of Bose-Einstein condensate // Phys. Rev. Lett., 2005. – V. 89. – P. 220401.
15. Korotkov A.N. and Jordan A.N. Updoing a weak quantum measurement of solid-state qubit // Phys. Rev. Lett., V.97. – 2006. – P. 166805.